

Trasformata di Fourier

Dato $f(t)$ definito per $-\infty < t < \infty$ se $\int_{-\infty}^{\infty} f(t) e^{-j\omega t} dt$ allora

$F(j\omega)$ è detta trasformata di Fourier

l'auto trasformata $f(t) = \frac{1}{2\pi} \int_{-\infty}^{\infty} F(j\omega) e^{j\omega t} d\omega$

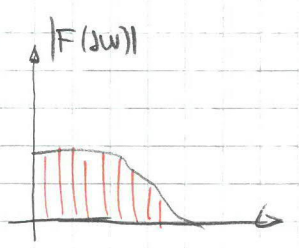
Dato una trasformata di Laplace, quella di Fourier non è altro che Laplace con $s = j\omega$ → è Laplace valutato lungo l'asse immaginario

Proprietà della trasformata di Fourier

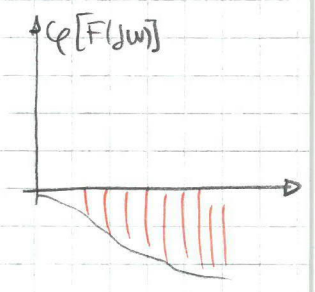
1) $F(j\omega) = F(s) |_{s=j\omega}$ per segnali $f(t) \begin{cases} = 0 \quad \forall t < 0 \\ \text{trasformabile secondo Laplace} \end{cases}$

2) $F(-j\omega) = \overline{F(j\omega)}$

3) $f(t) = \frac{1}{\pi} \int_0^{\infty} |F(j\omega)| \cos(\omega t + \phi_{\text{fase}}[F(j\omega)]) d\omega$



Posso vedere il segnale nel dominio nel tempo come somma infinita di ^{coseni} segnali con un certo modulo ed una certa fase



Rappresentazione I/O → Funzione di Trasferimento

$$\begin{aligned} \begin{cases} \dot{x} = Ax + Bu \\ y = Cx + Du \end{cases} &\rightarrow \mathcal{L}[x] = sX(s) - x(0^-) = AX(s) + BU(s) \\ &= sX(s) - AX(s) = BU(s) + x(0^-) \\ &= (sI - A)X(s) = BU(s) + x(0^-) \end{aligned} \rightarrow \text{moltiplico a sx e dx per } (sI - A)^{-1}$$

Non è detto che $(sI - A)$ sia invertibile (Nota: è funzione matriciale e non un int perché abbiamo s all'interno). L'inversione esiste quasi sempre.

Non è invertibile per numero n finito di valori di s → è genericamente invertibile

$X(s) = (sI - A)^{-1} BU(s) + (sI - A)^{-1} \cdot x(0^-)$ scelgo di considerare $x(0^-) = 0$ →

→ $X(s) = (sI - A)^{-1} BU(s)$ $Y(s) = C(sI - A)^{-1} BU(s) + DU(s)$

$Y(s) = [C(sI - A)^{-1} B + D] U(s) = \underline{G(s)} U(s)$ → Funzione di trasferimento del SIS

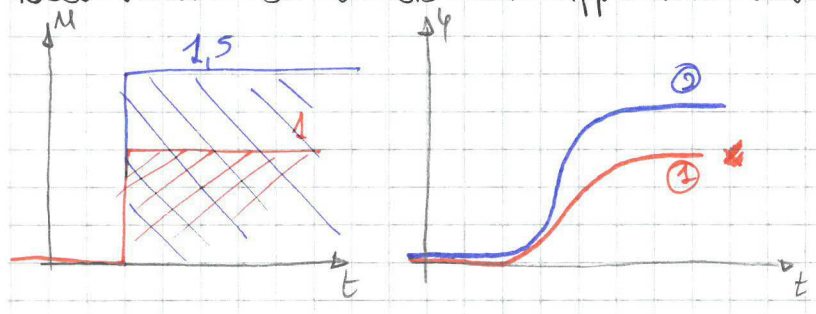
Possiamo definirla in due modi

1) $FdT = G(s) = C(sI - A)^{-1} B + D$

2) $FdT = G(s) = \frac{\mathcal{L}[y(t)]}{\mathcal{L}[u(t)]}$ quando la C.I è nulla

La seconda definizione può essere utile per andare ad avere risultati senza costruire il modello matematico. Devo avere CI. nulle ed un sis lin.

Posso vedere se un sis lin applicando diversi scolini:



Il sis è lin se
 $2 = 1,5 \cdot 1 \rightarrow$ se c'è una relazione lin in-out, guardandola sperimentalmente

Anche se le CI $\neq 0$, se il sis è AS allora le CI tenderanno in maniera asintotica a zero (movimento libero) quindi posso anche non necessariamente avere CI = 0.

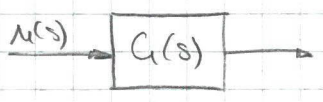
Perciò ho 3 passi:

- 1° calcola $u(s) = \mathcal{L}[u(t)]$
- 2° moltiplica $y(s) = G(s)u(s)$
- 3° calcola $\mathcal{L}^{-1}[y(s)] = y(t)$

Il punto 1,3 sappiamo già fare (il 3 tramite Heavy side).

Vediamo come calcolare il pto 2.

esempio



$$G(s) = \frac{1}{s+3} \quad u(t) = e^t \text{ sca}(t) \quad ? y(t)$$

$$\mathcal{L}[e^t \text{ sca}(t)] = \frac{1}{s-1} \rightarrow y(s) = G(s) \cdot u(s) = \frac{1}{(s-1)(s+3)}$$

traslazione della trasformata

$$\text{Perciò } y(s) = \frac{A}{s-1} + \frac{B}{s+3} = \frac{A(s+3) + B(s-1)}{(s-1)(s+3)} \quad \begin{cases} A = \dots \\ B = \dots \end{cases} \rightarrow y(t) = \frac{1}{4} (e^t - e^{-3t}) \text{ sca}(t)$$

Vediamo che l'uscita nel tempo ha due termini che sono i modi del sis + i modi di ingresso \rightarrow izy pizi

es

$$\begin{cases} \dot{x} = u(t) \\ y(t) = x(t) \end{cases} \quad A=0 \quad B=1 \quad c=1 \quad D=0 \quad G(s) = c(sI - A)^{-1}B + D \Rightarrow \rightarrow 1(s-0)^{-1} \cdot 1 + 0 = \frac{1}{s}$$

Nota: $\frac{1}{s}$ è sca(t) nel caso di un segnale. Nel caso dell'interpretazione di operatore di sistema (fdt), $\frac{1}{s}$ è l'integratore

es

$$\begin{cases} \dot{x}_1 = x_2 \\ \dot{x}_2 = u \\ y = x_1 \end{cases} \quad A = \begin{bmatrix} 0 & 1 \\ 0 & 0 \end{bmatrix} \quad B = \begin{bmatrix} 0 \\ 1 \end{bmatrix} \quad C = [1 \ 0] \quad D = [0]$$

$$G(s) = C(sI - A)^{-1}B + D = [1 \ 0] \cdot \begin{bmatrix} s & -1 \\ 0 & s \end{bmatrix}^{-1} \cdot \begin{bmatrix} 0 \\ 1 \end{bmatrix}$$

$$G(s) = [1 \ 0] \cdot \frac{1}{s^2} \begin{bmatrix} s & 1 \\ 0 & s \end{bmatrix} \cdot \begin{bmatrix} 0 \\ 1 \end{bmatrix} = \frac{1}{s^2} [s \ 1] \cdot \begin{bmatrix} 0 \\ 1 \end{bmatrix} = \frac{1}{s^2} \rightarrow \text{integro due volte}$$

NB:

$$\frac{1}{s^2} \text{ come segnale} = \text{RAMPA} \quad \frac{1}{s^2} \text{ come sis} = \text{DOPPIO INTEGRATORE}$$

Intuisco che la fdt sarà sempre scrivibile come $\frac{\text{NUMERATORE}(s)}{\text{DENOMINATORE}} = G(s)$

In cui il DEN è figlio diretto del $\det(sI - A)$

ma $(sI - A)$ è legato direttamente al polinomio caratteristico *aug*

es

$$\begin{cases} \dot{x}_1 = x_2 + 2u \\ \dot{x}_2 = -4x_1 - 2x_2 + u \\ y = x_2 + 5u \end{cases}$$

$$A = \begin{bmatrix} 0 & 1 \\ -4 & -2 \end{bmatrix} \quad B = \begin{bmatrix} 2 \\ 1 \end{bmatrix} \quad C = [0 \ 1] \quad D = 5$$

$$G(s) = [0 \ 1] \begin{bmatrix} s & -1 \\ 4 & s+2 \end{bmatrix}^{-1} \begin{bmatrix} 2 \\ 1 \end{bmatrix} + 5$$

$$= \frac{1}{s(s+2)+4} [0 \ 1] \begin{bmatrix} s+2 & 1 \\ 4 & s \end{bmatrix} \begin{bmatrix} 2 \\ 1 \end{bmatrix} + 5$$

$$G(s) = \frac{1}{s^2+2s+4} [-4 \ s] \begin{bmatrix} 2 \\ 1 \end{bmatrix} + 5 = \frac{-8+s+5(s^2+2s+4)}{s^2+2s+4} = \frac{5s^2+11s+12}{s^2+2s+4} = \frac{N(s)}{D(s)}$$

grado $N(s) = 2 \rightarrow$ il grado 2 è legato al passaggio * in cui il termine noto viene moltiplicato per il $D(s)$.

Non c'è modo di ottenere grado $N(s) >$ grado $D(s)$ perché abbiamo appena visto che $N(s)$ è legato a $D(s)$. Se non avessi avuto il termine noto D , avremmo avuto $N(s)$ di grado 1

Vediamo un altro metodo risolutivo:

$$n \frac{d^4 y}{dt^4} + a_{n-1} \frac{d^{n-1} y}{dt^{n-1}} + \dots + a_0 y = b_m \frac{d^m u}{dt^m} + b_{m-1} \frac{d^{m-1} u}{dt^{m-1}} + \dots + b_0 u(t) \quad (n \geq m)$$

è un'eq. diff di ordine n

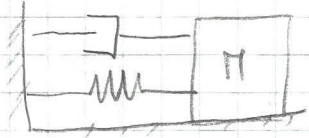
Calcolo FdT ($x(0)=0$) $\implies \left. \frac{d^i y}{dt^i} \right|_{t=0} = 0 \quad \forall i \leq n-1$

$$a_n s^n Y(s) + a_{n-1} s^{n-1} Y(s) + \dots + a_0 Y(s) = b_m s^m U(s) + b_{m-1} s^{m-1} U(s) + \dots + b_0 U(s)$$

$$Y(s) (a_n s^n + a_{n-1} s^{n-1} + \dots + a_0) = U(s) (b_m s^m + \dots + b_0)$$

$$\frac{Y(s)}{U(s)} = \frac{b_m s^m + b_{m-1} s^{m-1} + \dots + b_0}{a_n s^n + a_{n-1} s^{n-1} + \dots + a_0}$$

es



y = posizione

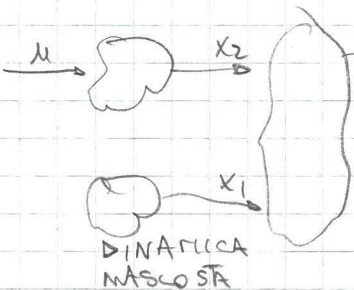
$$M \ddot{y} = -Ky - cy + u \quad (M \ddot{y} + Ky + cy) = u$$

$$(Ms^2 + cs + K) Y(s) = U(s) \quad \frac{Y(s)}{U(s)} = \frac{1}{Ms^2 + cs + K} \quad \text{trovato } G(s)$$

cs

$$\dot{x} = \begin{bmatrix} 1 & 0 \\ 1 & -2 \end{bmatrix} x + \begin{bmatrix} 0 \\ 1 \end{bmatrix} u \quad G(s) = c (sI - A)^{-1} B + D = [1 \ 1] \begin{bmatrix} s-1 & 0 \\ -1 & s+2 \end{bmatrix}^{-1} \begin{bmatrix} 0 \\ 1 \end{bmatrix}$$

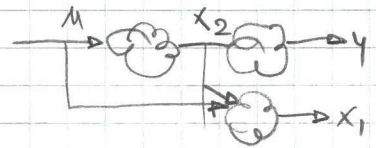
$$y = [1 \ 1] x \quad G(s) = \frac{(s-1)}{(s-1)(s+2)} = \frac{1}{s+2} \quad \text{CANCELLAZIONE}$$



In questo caso ho un polo inessenziale, che si riflette nella G(s) come cancellazione di un zero e un polo

es

$$G(s) = \frac{1}{(s-1)(s+1)} [0 \ 1] \begin{bmatrix} s+1 & 1 \\ 0 & s-1 \end{bmatrix} \begin{bmatrix} 1 \\ 1 \end{bmatrix} = \frac{(s-1)}{(s-1)} \frac{1}{s+1} = \frac{1}{s+1}$$



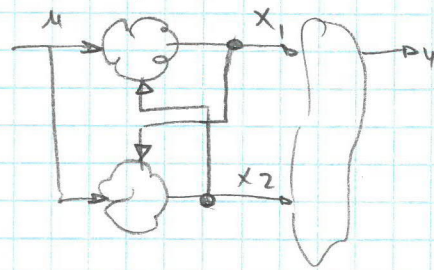
L'atto algebrico della cancellazione porta ad una perdita di informazione contenuta nella rappresentazione degli spazi di stato

Nota: se non ho cancellazioni nel calcolo della FdT, il sis è detto completamente raggiungibile e osservabile

Nell'ultimo esempio infatti, x_2 non è osservabile a causa della cancellazione.

$$\dot{X} = \begin{bmatrix} -13 & 7 \\ -26 & 13 \end{bmatrix} \begin{bmatrix} x_1 \\ x_2 \end{bmatrix} + \begin{bmatrix} 5 \\ 9 \end{bmatrix} u$$

$$\begin{cases} \dot{x}_1 = -13x_1 + 7x_2 + 5u \\ \dot{x}_2 = -26x_1 + 13x_2 + 9u \\ y = 2x_1 - x_2 \end{cases}$$



Così a prima vista, dallo schema, sembra di essere

di fronte ad un sis perf raggiungibile, un calcolando $G(s) = e(sI - A)^{-1}B = \frac{1}{s+1} = \frac{N(s)}{D(s)}$

C'è stata ovviamente una cancellazione, perciò:

Se e solo se c'è cancellazione \implies sis non osservabile

Dallo schema possiamo dedurre che esso non è affidabile come "test" di raggiungibilità. Aiuto a capire meglio cosa succede. L'unico test veritiero è solo mediante il calcolo di $G(s)$

Osservazioni e definizioni su FdT

1) $G(s)$ è sempre scrivibile come $G(s) = \frac{N(s)}{D(s)} = \frac{b_m s^m + b_{m-1} s^{m-1} + \dots + b_0}{a_n s^n + a_{n-1} s^{n-1} + \dots + a_0}$

2) $D(s)$ può sempre essere reso monico: il 1° termine $a'_n = 1$, quindi:

$$G(s) = \frac{\frac{b_m}{a_n} s^m + \dots + \frac{b_0}{a_n}}{s^n + \frac{a_{n-1}}{a_n} s^{n-1} + \dots + \frac{a_0}{a_n}}$$

* il nuovo "a_n" è unitario

3) Se $m < n$ il sis è strettamente proprio ($D=0$)

Se $m = n$ il sis è proprio ($D \neq 0$)

Se $m > n$ il sis è improprio \neq

4) POLI di $G(s)$: valori di s t.c. $|G(s)| = \infty$ (sono le radici di $D(s)$)
 5) ZERI di $G(s)$: valori di s t.c. $|G(s)| = 0$ (sono le radici di $N(s)$) \rightarrow SINGOLARITA'

6) Se \bar{s} è polo di sis $\implies \bar{c}$ autovettore di A (una volta l'opposto perché ci può essere una cancellazione, posso farlo solo quando sis completamente raggiungibile)

7) Se \bar{s} è autovettore di A e sis è perfettamente raggiungibile e osservabile $\implies \bar{s}$ è polo di $G(s)$

8) Cancellazioni \rightarrow critiche $Re[\bar{s}] \geq 0$
 \rightarrow non critiche $Re[\bar{s}] < 0$

Stabilità interna

Stabilità BIBO (Bounded in/bounded out)

Se AS internamente stabile \implies BIBO STABILE

AS internamente stabile \iff BIBO STABILE + cancellazioni sono una critica

INST \iff BIBO INST

INST + una o cancellazioni \implies BIBO INST

Rappresentazione delle FdT

1) $G(s) = \frac{N(s)}{D(s)} = \frac{b_m s^m + \dots + b_0}{s^n + \dots + a_0}$ \sim monico

2) $G(s) = \rho \frac{\prod_{i=1}^q (s - z_i)}{\prod_{i=1}^p (s - p_i)}$

ρ = costante di trasferimento ~~stato~~

z_i = zeri p_i = poli

3) $G(s) = \frac{\mu}{s^q} \frac{\prod_{i=1}^q (1 + sT_i)}{\prod_{i=1}^p (1 + s\tilde{T}_i)}$

q = tipo della FdT T_i e \tilde{T}_i = costanti di tempo degli zeri e dei poli

μ = guadagno generalizzato

$\tilde{T}_i = -\frac{1}{p_i}$ $T_i = -\frac{1}{z_i}$

es

$G(s) = \frac{4s+4}{s^2+2s-8}$ zeri: $\bar{z}_1 = -1$ poli: $s^2+2s-8=0$ $\bar{p}_1 = 2$ $\bar{p}_2 = -4$

$$= \frac{4(s+1)}{(s-2)(s+4)} = \frac{6(1+s)}{-2 \left(1 - \frac{s}{2}\right) \cdot 4 \left(\frac{s}{4} + 1\right)} = -\frac{1}{2} \frac{(1+s)}{\left(1 - \frac{s}{2}\right) \left(1 + \frac{s}{4}\right)}$$

μ : guadagno generalizzato

es $\frac{s+3}{s^2-2s} = \frac{s+3}{s(s-2)} = \frac{1}{s} \cdot \left(-\frac{3}{2}\right) \cdot \frac{\left(1 + \frac{s}{3}\right)}{\left(1 - \frac{s}{2}\right)}$

$\mu = -\frac{3}{2}$

$\frac{1}{s}$ in cui q è il tipo della FdT

~~es~~

Cosa intendiamo per guadagno generalizzato?

$$G(s) \xrightarrow{u} \boxed{G} \rightarrow y \quad u = \text{cost} \quad ? y$$

$$Y(s) = G(s)U(s) \quad \text{con l'ingresso costante} \rightarrow U(s) = \frac{1}{s} \rightarrow$$

$$\rightarrow Y(s) = G(s) \cdot \frac{1}{s} \rightsquigarrow \mathcal{L}^{-1} \text{ e poi } \lim_{t \rightarrow \infty} y(t) = \bar{y} \text{ valore finale}$$

Posso anche non autotrasformare \rightarrow teorema val. finale $\lim_{s \rightarrow 0} G(s) \cdot \frac{1}{s} \cdot s$

perciò se $\exists \bar{y}$ allora $\bar{y} = \lim_{s \rightarrow 0} G(s) \rightsquigarrow$ valore finale dipendente da un valore specifico della FdT

Questo valore è $G(0)$ = guadagno del sis

$$G(s) = \frac{\prod (1 + sT_i)}{\prod (1 + sT'_i)} = \rho \frac{(s - z_i)}{(s - p_i)}$$

regime \rightarrow transitorio

in questa scrittura abbiamo il vantaggio di separazione tra regime e transitorio

Il tipo del sis g mi tiene conto dei poli all'origine $\rightarrow \rho_{re} = 0$

Realizzazione di un FdT

$$\begin{cases} \dot{x} = Ax + Bu \\ y = Cx + Du \end{cases} \rightarrow C(sI - A)^{-1}B + D \rightarrow C(s) \text{ I/O} \rightarrow \text{posso tornare indietro?}$$

Il percorso inverso è chiamato REALIZZAZIONE: data FdT cerco A, B, C, D che abbiano come FdT quella di partenza

• Ho infinite A, B, C, D nella realizzazione perché, da come visto in precedenza, basta avere un cambio variabile o ho un rappres. in spazio di stato

• Inoltre ho anche il fatto della cancellazione, non presente in $G(s)$ quindi non posso "recuperare" l'informazione persa durante il passaggio. Infatti

$$G(s) = \frac{N(s)}{D(s)} \quad G'(s) = \frac{N(s)(s - p_i)}{D(s)(s - p_i)} \rightarrow G'(s) \text{ non cambia da } G(s)$$

Però tornando indietro, ~~non~~ ho due rappres. diverse.

Def: Una realizzazione (A, B, C, D) si dice MINIMA se $n = \text{grado del denominatore di } G(s)$

Una realizzazione minima è completamente raggiungibile e osservabile \iff ^{NQ} CANCELLAZIONI

Forme canoniche di Realizzazione

1) Forma canonica di controllo

Definisco $G(s)$ come $G(s) = \frac{b_{n-1}s^{n-1} + b_{n-2}s^{n-2} + \dots + b_0}{s^n + a_{n-1}s^{n-1} + \dots + a_0} + d$ ↗ termine noto

$$A_c = \begin{bmatrix} 0 & 1 & 0 & 0 & \dots & 0 \\ 0 & 0 & 1 & 0 & \dots & 0 \\ 0 & 0 & 0 & 1 & \dots & 0 \\ \vdots & \vdots & \vdots & \vdots & \ddots & \vdots \\ 0 & 0 & 0 & 0 & \dots & 1 \\ -a_0 & -a_1 & -a_2 & \dots & \dots & -a_{n-1} \end{bmatrix} \quad B_c = \begin{bmatrix} 0 \\ 0 \\ 0 \\ \vdots \\ 0 \\ 1 \end{bmatrix} \quad C_c = [b_0 \ b_1 \ \dots \ b_{n-1}]$$

$$D_c = [d]$$

↳ è SISO

es

$$G(s) = \frac{2s^2 + 1}{s^2 + 4s + 3} + 2 - 2 = \frac{2s^2 + 1 - 2s^2 - 8s - 6}{s^2 + 4s + 3} + 2 = \frac{-8s - 5}{s^2 + 4s + 3} + 2$$

$\begin{matrix} b_1 & b_0 \\ \downarrow & \downarrow \\ a_1 & a_0 \end{matrix}$

2) $G_c(s) = \frac{b_{n-1}s^{n-1} + b_{n-2}s^{n-2} + \dots + b_1s + b_0}{s^n + a_{n-1}s^{n-1} + \dots + a_1s + a_0} + d$

La forma canonica di osservabilità è

$$A_o = \begin{bmatrix} 0 & 0 & 0 & 0 & \dots & -a_0 \\ 1 & 0 & 0 & 0 & \dots & -a_1 \\ 0 & 1 & 0 & 0 & \dots & -a_2 \\ 0 & 0 & 1 & 0 & \dots & \vdots \\ 0 & 0 & 0 & 1 & \dots & \vdots \\ \vdots & \vdots & \vdots & \vdots & \ddots & \vdots \\ 1 & 1 & 1 & \dots & \dots & 1 \\ \vdots & \vdots & \vdots & \vdots & \vdots & \vdots \end{bmatrix} \quad B_o = \begin{bmatrix} b_0 \\ b_1 \\ \vdots \\ b_{n-1} \end{bmatrix} \quad C_o = [0 \ 0 \ \dots \ 0 \ 1]$$

$$D_o = [d]$$

Per verificare: $A_o = A_c^T \quad B_o = C_c^T \quad C_o = B_c^T \quad D_o = D_c \rightarrow$ Vale solo per sis SISO

↳ osservabilità canonica

$$G(s) = C_o(sI - A_o)^{-1} B_o \quad G(s) = G(s)^T \quad G(s)^T = [C_o(sI - A_o)B_o]^T = B_o^T (sI - A_o)^{-1} C_o^T = C_c^T (sI - A_c)^{-1} B_c = C_c (sI - A_c)^{-1} B_c$$

$A_o = A_c^T$ $B_o = C_c^T$ $C_o = B_c^T$ $D_o = D_c$	$Z = Tx$ con T non singolare vale anche per sis MIMO	}	Abbiamo un dualità
--	---	---	--------------------

solo per SISO

Serie a blocchi

Abbiamo la serie/parallelo/retroazione

• Serie $\xrightarrow{u_1} \boxed{S_1} \xrightarrow{y_1} \boxed{S_2} \rightarrow y_2 \rightsquigarrow u_1 = u \quad y_2 = y \quad u_2 = y_1$

$S_1 \begin{cases} \dot{x}_1 = A_1 x_1 + B_1 u_1 \\ y_1 = C_1 x_1 + D_1 u_1 \end{cases} \Rightarrow G_1(s) \quad \left. \begin{array}{l} \\ \end{array} \right\} \text{per semplicità dei conti possiamo } D_1 = D_2 = 0$

$S_2 \begin{cases} \dot{x}_2 = A_2 x_2 + B_2 u_2 \\ y_2 = C_2 x_2 + D_2 u_2 \end{cases} \Rightarrow G_2(s)$

→ Sostituiamo ora:

$\begin{cases} \dot{x}_1 = A_1 x_1 + B_1 u \\ \dot{x}_2 = A_2 x_2 + B_2 C_1 x_1 \\ y = C_2 x_2 \end{cases} \rightarrow \text{Nuova rapp. spazio di stato in cui } A = \begin{bmatrix} A_1 & 0 \\ B_2 C_1 & A_2 \end{bmatrix} \quad B = \begin{bmatrix} B_1 \\ 0 \end{bmatrix}$
 $C = \begin{bmatrix} 0 & C_2 \end{bmatrix}$

Gli autovallori del sis completo = {autovallori s_1 } \cup {autovallori s_2 } (A causa della matrice A che è tri angolare a blocchi)

La serie non cambia le proprietà di stabilità

$y_1(s) = G_1(s) U_1(s)$
 $y_2(s) = G_2(s) U_2(s) \rightarrow y_2(s) = G_2(s) G_1(s) U_1(s) \Rightarrow y(s) = \overbrace{G_1(s) G_2(s)}^{G(s)} U(s)$
 prodotto delle FdT

$G_i(s) = \frac{N_i(s)}{D_i(s)}$

Esempio

$S_1 \begin{cases} \dot{x}_1 = -2x_1 + u \\ \dot{x}_2 = 3x_1 + x_2 + u \\ y = \frac{2}{3}x_1 + \frac{1}{3}x_2 \end{cases} \rightarrow G_1(s) = \frac{1}{s^2 + s - 2}$ ↗ un lo auto cancella

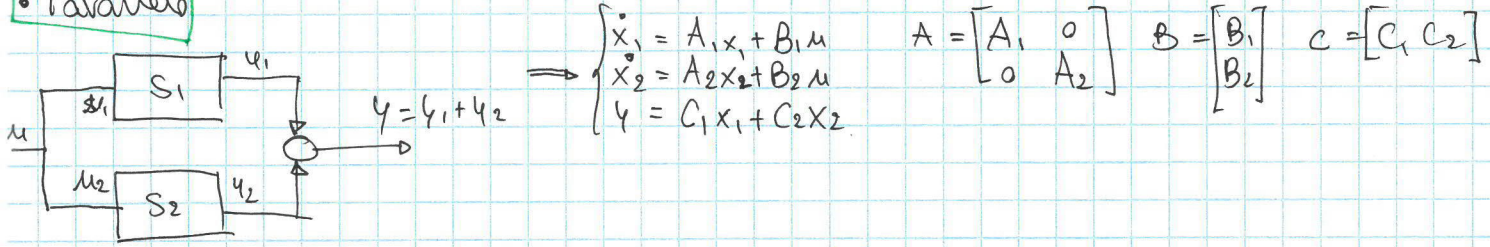
$S_2 \begin{cases} \dot{x}_1 = -4x_1 - 3x_2 + u \\ \dot{x}_2 = 2x_1 \\ y = x_1 - \frac{1}{2}x_2 \end{cases} \rightarrow G_2(s) = \frac{s-1}{s^2 + 6s + 3}$ ↗ numero zero ci sono cancella

$G(s) = \frac{1}{(s-1)(s+2)} \cdot \frac{s-1}{(s+1)(s+3)} = \frac{1}{(s+1)(s+2)(s+3)}$ → cancellazione → La serie risulta

in un sis non più ragg e oss.

La cancellazione mi avvisa che devo avere più info per controllare il sis perché così come la situa. attuale le info sono tali da non poter controllare tutto in maniera chiara.

Parallelo



Come nella serie, un tempo la stabilità di A perché gli autovalori sono $A_1 \cup A_2$ grazie alla diagonalità della matrice A \Rightarrow non cambia le proprietà di stabilità

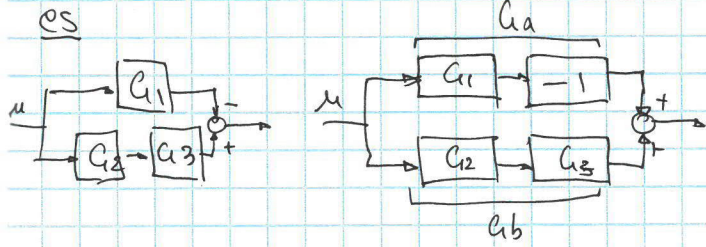
$$Y(s) = G_1(s)U_1(s) + G_2(s)U_2(s) = U(s) \left[G_1(s) + G_2(s) \right] \rightarrow \text{summa}$$

$$G(s) = \frac{N_1(s)}{D_1(s)} + \frac{N_2(s)}{D_2(s)} = \frac{N_1(s)D_2(s) + N_2(s)D_1(s)}{D_1(s)D_2(s)}$$

Per avere una cancellazione, deve esserci un termine comune negli addendi che sia poi raccogliabile e cancellabile con un termine del denominatore.

Possiamo pure combinare serie e // delle FAT:

es

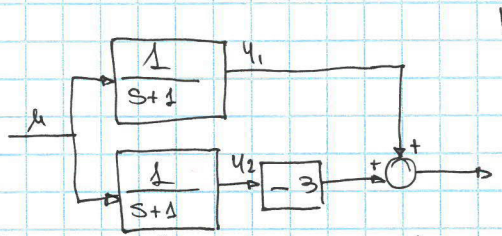


$$G_1 = \frac{3}{s+1} \quad G_2 = \frac{s+2}{s+1} \quad G_3 = \frac{1}{s+2}$$

$$G_a = \frac{-3}{s+1} \quad G_b = \frac{s+2}{s+1} \cdot \frac{1}{s+2} \quad \text{cancellazione non critica (polo con } Re < 0 \rightarrow \text{no prob)}$$

$$G = \frac{-3}{s+1} + \frac{1}{s+1} = \frac{-2}{s+1} \quad \left[\text{il raccoglimento } (-3+1) \text{ ha provocato una cancellazione da qualche parte} \right]$$

Ho perso uno stato nel sis che non è oss. nell'uscita



Ho lo stesso ingresso $\rightarrow y_1 = y_2 \rightarrow$ ho l'uniformità ridondante. Sto perdendo il grado di libertà

risultano uniformanti, ma all'inizio potrebbero avere CI diverse. corrisponde alla C.I. I due stadi, all'uscita

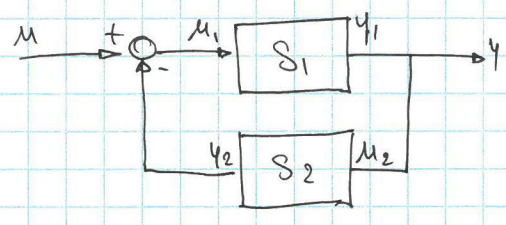
Infatti la rappres I/O suppone (e implica) che le CI siano nulle \rightarrow

ecco il motivo della cancellazione anche se non è totalmente esplicita eliminando termini di N(s) e D(s) (infatti abbiamo raccolto in un'unica

non critica)

Retroazione

$$y = y_1 \quad u_1 = u - y_2 \quad u_2 = y_1$$



$$\begin{cases} \dot{x}_1 = A_1 x_1 + B_1 (u - C_2 x_2) \\ \dot{x}_2 = A_2 x_2 + B_2 C_1 x_1 \\ y = C_1 x_1 \end{cases}$$

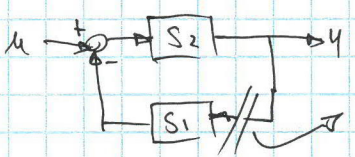
$$A = \begin{bmatrix} A_1 & -B_1 C_2 \\ B_2 C_1 & A_2 \end{bmatrix} \quad B = \begin{bmatrix} B_1 \\ 0 \end{bmatrix} \quad C = \begin{bmatrix} C_1 & 0 \end{bmatrix}$$

$$Y(s) = Y_1(s) = C_1 U_1(s) = C_1 (U(s) - Y_2(s)) = C_1 (U(s) - Y(s) \cdot G_2)$$

$$Y(s) = \frac{C_1}{1 + G_2 C_1} \cdot U(s) \quad G_1(s) = \frac{\text{linea di andata}}{1 + \text{FdT dell'anello}} \quad \text{è la def generalizzata}$$

Il \oplus = retroazione negativa \ominus = retroazione positiva \rightarrow determinate dal modo sommare
 linea di andata = modo diretto per andare da ingresso a uscita, ignorando la retroazione

FdT ad anello = taglia l'anello chiuso (prima bisogna identificarlo) e calcolo la FdT nel pto di taglio. Così facendo non c'è più retroazione \rightarrow riuniscono solo serie e paralleli:



taglia e vedo che S_2 è in serie a $S_1 \rightarrow G_1 \cdot G_2$

La FdT ad anello vale anche per sis a blocchi più complessi

$$\frac{Y(s)}{U(s)} = \frac{\text{linea di andata}}{1 + \text{FdT dell'anello}} = \frac{C_1}{G_1 G_2 + 1} = \frac{N_1}{D_1} \cdot \frac{1}{1 + \frac{N_1 N_2}{D_1 D_2}} = \frac{N_1 D_2}{D_1 D_2 + N_1 N_2}$$

i poli sono \bar{s} ta $D_1 D_2 + N_1 N_2 = 0$ \rightarrow i poli non si cancellano più

~~Non~~ Non ci sono cancellazioni tra poli e zeri. Ci sono cancellazioni diverse nelle retroazioni. Queste sono passaggi algebrici che non diminuiscono l'informazione tot.

Attraverso la retroazione posso: SIS STABILI CON INSTABILI \rightarrow STABILIZZAZIONE
 SIS ~~STAB~~ CON SIS STAB \rightarrow generare instabilità

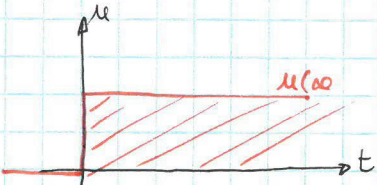
es

$$G(s) = G_0 \cdot \frac{G_1 \cdot (G_2 + G_3)}{1 + G_4(G_2 + G_3)G_5 G_6}$$

Risposte a ingressi canonici

Data una $G(s)$ calcolare alcune proprietà della risposta allo scatto, senza calcolarla in forma chiusa

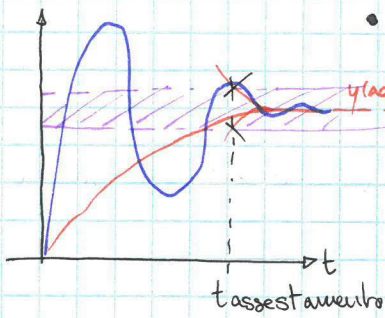
PROPRIETA'



- $y(\infty) = \lim_{t \rightarrow \infty} y(t)$

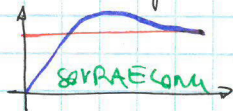
- tempo di assestamento t.c. $|y(t) - y(\infty)| \leq \epsilon y(\infty) \forall t > t_{assestamento}$

- oscillazioni? Se sì: ? periodo (frequenza) ? smorzamento dell'oscillaz?

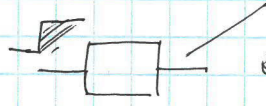


- sovraelongazioni? (supera il valore a regime e ci converge con la stessa derivata)

- sottoelongazioni? (parte sempre da sotto il regime)



1) Integratore $G(s) = \frac{\mu}{s}$



è una rampa con $y(t) = \mu \cdot t$

2) sis con 1 polo $G(s) = \frac{\mu}{1 + sT}$

$p = -\frac{1}{T} < 0 \iff AS$

$$y(\infty) = \lim_{s \rightarrow 0} s G(s) \cdot \frac{1}{s} = \mu$$

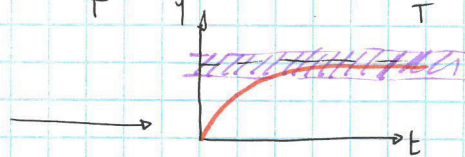
$$y(0) = \lim_{s \rightarrow \infty} s G(s) \cdot \frac{1}{s} = 0$$

$$Y(s) = G(s) \cdot \frac{1}{s} = \frac{\mu}{T} \frac{1}{s + \frac{1}{T}} \cdot \frac{1}{s} = \frac{A}{s} + \frac{B}{s + \frac{1}{T}} = \frac{A(s + \frac{1}{T}) + Bs}{s(s + \frac{1}{T})}$$

$$\begin{cases} A + B = 0 \\ A = \frac{\mu}{T} \end{cases}$$

$A = \mu \quad B = -\mu$

$$y(t) = \mu \left(1 - e^{-\frac{t}{T}} \right)$$



Calcoliamo il tempo d'assestamento $y(t_a) = 0,99 \mu \quad \mu \left(1 - e^{-\frac{t}{T}} \right) = 0,99 \mu$

$$t = -\frac{\ln(0,01) T}{\sim 4,6} \quad t_a \approx 5 T$$

3) Due poli reali coincidenti:

$$G(s) = \frac{\mu}{(1+sT)^2}$$

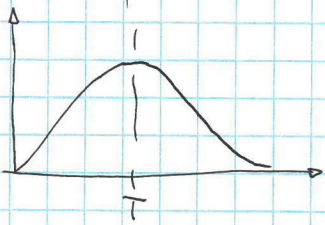
$$y(0) = \lim_{s \rightarrow \infty} \frac{\mu}{(1+sT)^2} = 0$$

$$y'(0) = \lim_{s \rightarrow \infty} \frac{\mu s}{(1+sT)^2} = 0$$

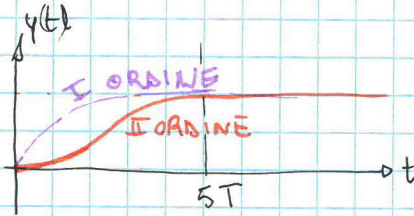
$$y(\infty) = \lim_{s \rightarrow 0} G(s) = \mu$$

Heaviside $\rightarrow y(t) = \mathcal{L}^{-1} \left[\frac{A}{s} + \frac{B}{1+sT} + \frac{C}{(1+sT)^2} \right] = \left[\mu - \mu e^{-\frac{t}{T}} - \mu \frac{t}{T} e^{-\frac{t}{T}} \right] \text{ sca}(t)$
 μ è un sis del 1° ordine

Oltre alla parte del 1° ordine abbiamo un parte $+\mu \frac{t}{T} e^{-\frac{t}{T}}$, analizziamo:



$$\frac{d}{dt} \left(\frac{t}{T} e^{-\frac{t}{T}} \right) = 0 \text{ per } t=T$$



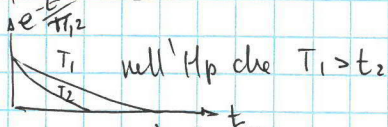
Perciò $y(t) = 1^{\circ} \text{ ordine} - \mu \frac{t}{T} e^{-\frac{t}{T}}$

4) Poli reali distinti

$$G(s) = \frac{\mu}{(1+sT_1)(1+sT_2)} \quad T_1 \neq T_2 \quad T_{1,2} > 0 \quad \mu > 0$$

$$y(0) = 0 \quad y'(0) = 0 \quad y(\infty) = \mu \quad y(s) = \frac{A}{s} + \frac{B}{s+T_1} + \frac{C}{s+T_2}$$

$$y(t) = \mu \left[1 - \frac{T_1}{T_1-T_2} e^{-\frac{t}{T_1}} + \frac{T_2}{T_1-T_2} e^{-\frac{t}{T_2}} \right] \text{ sca}(t)$$

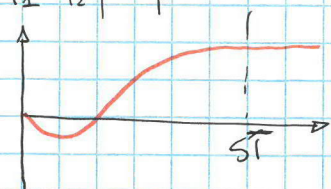
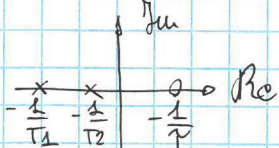


$t_a = 5T_1 \rightarrow$ cinque volte il tempo maggiore (il più lento)
 $e^{-\frac{t}{T_1}}$ dominante $e^{-\frac{t}{T_2}}$

5) poli reali distinti e un zero

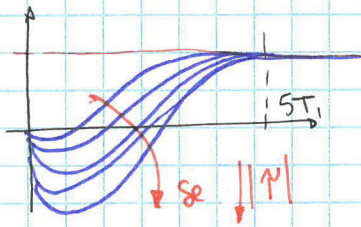
$$G(s) = \frac{\mu (1+sT^*)}{(1+sT_1)(1+sT_2)}$$

• caso $T^* < 0$ valore init $y(0) = 0$ $y'(0) = \lim_{s \rightarrow \infty} s^2 y(s) = \lim_{s \rightarrow \infty} sT^* G(s) \cdot \frac{1}{s} = sG(s) = \frac{\mu T^*}{T_1 T_2}$



\rightarrow abbiamo un sottoelaborazione un il tempo d'assettamento del cubica

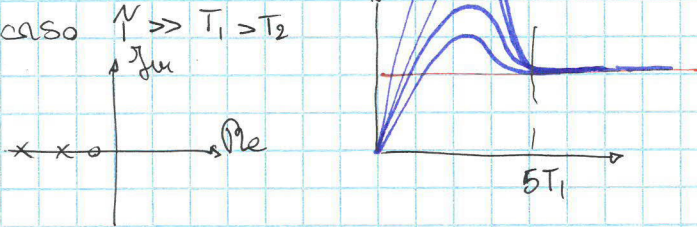
Questo è detto comportamento a fase non minima



più è alto \uparrow , più abbiamo sovraelongazione

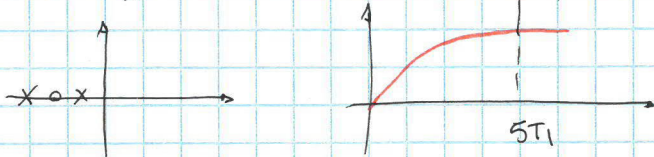
Sto giro ottengo un sovraelongazione

• caso $\uparrow \gg T_1 > T_2$



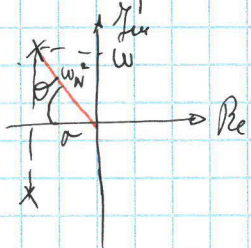
Più sale \uparrow , più la risposta scivola verso l'alto

• caso $T_1 > \uparrow > T_2$



Questo è il caso più semplice

6) Poli complessi e coniugati



$$\text{Re}[\text{polo}] = \sigma \quad \text{Im}[\text{polo}] = \pm j\omega$$

$$D(s) = (s - \sigma + j\omega)(s - \sigma - j\omega) = s^2 - 2\sigma s + (\omega^2 + \sigma^2)$$

$$\omega_N = \sqrt{\omega^2 + \sigma^2} \quad \text{pulsazione naturale}$$

$$\cos(\theta) = \zeta \quad \text{smorzamento}$$

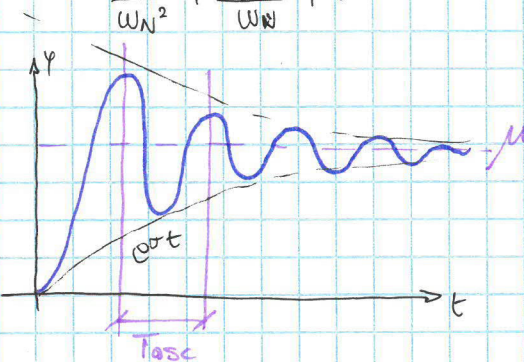
$$\sigma = -\omega_N \zeta$$

$$\omega^2 = \omega_N^2 - \sigma^2 = \omega_N^2 - \omega_N^2 \zeta^2 = \omega_N^2 (1 - \zeta^2) \quad \omega = \omega_N \sqrt{1 - \zeta^2}$$

$$D(s) = \omega_N^2 \left(\frac{1}{\omega_N^2} s^2 + 2 \frac{\zeta}{\omega_N} s + 1 \right)$$

$$G(s) = \frac{\mu}{\frac{s^2}{\omega_N^2} + 2 \frac{\zeta}{\omega_N} s + 1}$$

$$y(t) = \mu \left[1 - e^{\sigma t} \cos(\omega t) - \frac{\sigma}{\omega} e^{\sigma t} \sin(\omega t) \right] \text{sen}(t)$$



$$T_{\text{ASSEST}} = -\frac{5}{\sigma} \quad \sigma = -\omega_N \zeta \quad \rightarrow \quad T_{\text{ASS}} = +\frac{5}{\omega_N \zeta}$$

↳ carteriam

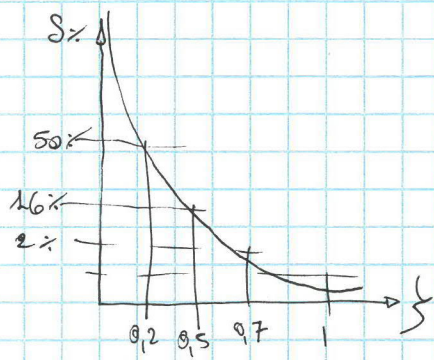
↳ poleme

$$T_{\text{osc}} = \frac{2\pi}{\omega} = \frac{2\pi}{\omega_N \sqrt{1 - \zeta^2}}$$

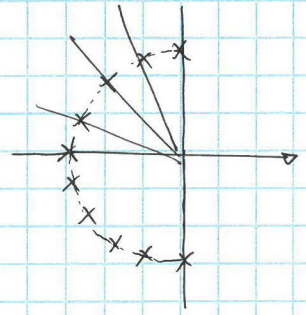
$$\# \text{osc} = \frac{T_A}{T_{\text{osc}}} = \frac{5}{\omega_N \zeta} \frac{\omega_N \sqrt{1 - \zeta^2}}{2\pi} = \frac{5}{2\pi} \frac{\sqrt{1 - \zeta^2}}{\zeta}$$

$$S\% = 100 e^{-\frac{5\zeta}{\sqrt{1 - \zeta^2}}} \quad \text{dipende solo dallo smorzamento}$$

↳ sovraelongazione percentuale



Ma uno che diminuisce lo spostamento mi avvicino sempre di più verso due poli completamente immaginari

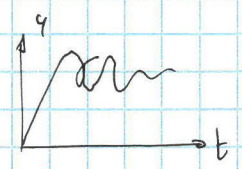


A 0,7 se lo smorzamento è maggiore le oscillazioni sono troppo lunghe per essere visibili (n° oscillaz < 1)

per $\zeta < 0,7$ abbiamo oscillazioni

$$7) G(s) = \frac{\mu (1+sT)}{\frac{s^2}{\omega_n^2} + 2\frac{\zeta}{\omega_n}s + 1}$$

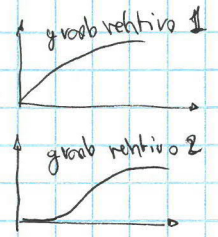
Se la zero è stabile una succede with
Se invece la zero è instabile:



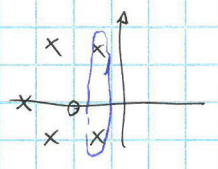
Approssimazione poli dominanti

Dato $G(s)$ voglio trovare \tilde{G}

- valore finale $\sum = v.f. G$ ($\mu = \tilde{\mu}$)
- = iniziale $\sum = v.i. G$ (conservare grado relativo ~~non~~ $= 0$) nel caso sia
- tasso smorzamento (uguali poli dominanti mantenere le costanti di tempo più lente)
- oscillazione (uguale ω_n e ζ dei poli dominanti)
- somma/sottolungo (zeri a destra del polo dominante)



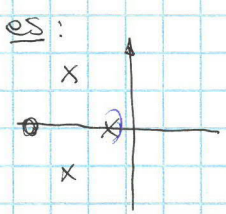
es: Partiamo dalla mappa dei poli e degli zeri nel piano complesso:



Assumo che il guadagno di quella FdT è $G(s) = \mu \dots$

Ma grado rel. Le quindi non serve che mi preoccupi. (La zero non è determinante, perciò:

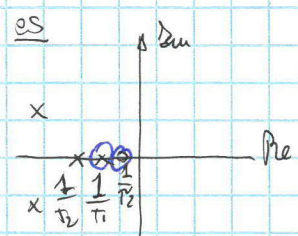
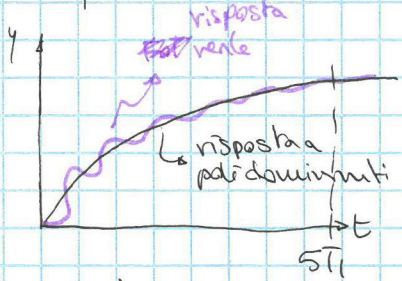
$$\tilde{G}(s) = \mu \frac{1}{\frac{s^2}{\omega_n^2} + 2\frac{\zeta}{\omega_n}s + 1}$$



$$\tilde{G}(s) = \frac{\mu}{1+sT_1}$$

(le oscillazioni spariscono prima della fine transitorio)

es $G(s) = \frac{3}{(s+2)(s+5)}$ $\tilde{G}(s) = \frac{3/10 \cdot 5}{(s+2)}$



$$\tilde{G}(s) = \mu \frac{(1+sT_2)}{(1+sT_1)(1+sT_2)}$$

Ritardo di tempo

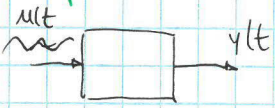
$\boxed{G_D} \rightarrow y(t) \quad y(t) = u(t - T_{RITARDO}) \quad Y(s) = U(s) e^{-sT_{RIT}}$

$G_D = e^{-sT_{RIT}}$

posso combinare più sis equ le stesse regole:

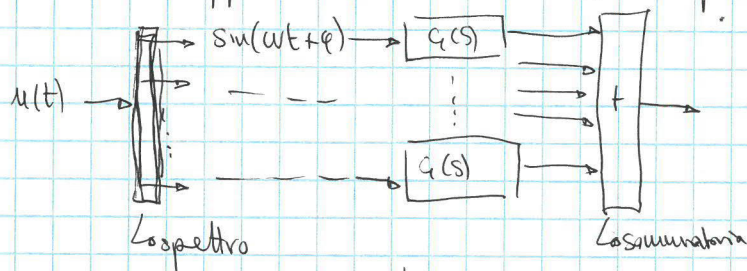
$\rightarrow \boxed{G_1} \rightarrow \boxed{RIT} \rightarrow \boxed{G_2} \rightarrow \quad G_{TOT}(s) = G_1(s) \cdot e^{-T_d s} \cdot G_2(s)$

Risposte a ingressi sinusoidali



È utile studiare questa risposta perché segnali alternati e periodici possono essere scomposti con Fourier

Vale la sovrapposizione delle cause ed effetti perché è un sis lin.



Consideriamo $u(t) = e^{st}$ con s costante e A matrice di A

$\begin{cases} \dot{x} = Ax + Bu \\ y = Cx + Du \end{cases} \quad \exists \text{ una } t_0 \text{ tale che } x(t) = \hat{x}(t_0) e^{st} \quad \text{condiz iniz } \hat{x}(t_0)$

$\dot{x}(t) = \hat{x}(t_0) \cdot s e^{st} = A \hat{x}(t_0) e^{st} + B e^{st} \quad (sI - A) \hat{x}(t_0) = B$

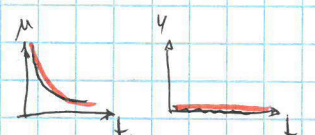
Se $\hat{x}(t_0) = (sI - A)^{-1} B$ allora è vero che $x(t) = \hat{x}(t_0) e^{st}$

$y = Cx + Du = C(sI - A)^{-1} B e^{st} + D e^{st} = [C(sI - A)^{-1} B + D] e^{st} \Rightarrow$ è la FdT valutata

per $s = \gamma \Rightarrow G(\gamma) e^{st}$

Vediamo il significato degli zeri:

$\rightarrow \boxed{G(s)} \rightarrow \quad \bar{\gamma}$ zero di $G(s) \quad u(t) = e^{\bar{\gamma}t} \quad \exists! \hat{x}(t) = C(\bar{\gamma}I - A)^{-1} B$
 $y(t) = G(\bar{\gamma}) e^{\bar{\gamma}t}$ in cui, per def, $G(\bar{\gamma}) = 0 \Rightarrow y(t) = 0$



Se ho un ingresso un exp che ha come coefficiente lo zero, in uscita non si vede niente

Questo è il potere bloccante degli zeri

Ho ora l'ingresso $u(t) = \sin(\omega t) \quad \tilde{u}(t) = e^{j\omega t} = \cos \omega t + j \sin \omega t$ un aspetto che

l'uscita sia $\tilde{y}(t) = \tilde{y}_1 + j \tilde{y}_2$ dove $\tilde{y}_1 =$ uscita di $G(s)$ con ingresso $\cos(\omega t)$
 $\tilde{y}_2 =$ " " " " " " " " $\sin(\omega t)$

Però se ho $u(t) = \sin(\omega t)$ allora $y(t) = \text{Im}[\tilde{y}(t)]$

1) considero $\tilde{u} = e^{j\omega t}$

2) scelgo $\hat{x}(s) = (j\omega I - A)^{-1} B \Rightarrow \hat{y}(s) = G(j\omega) e^{j\omega t}$ $G(j\omega) = |G(j\omega)| e^{j\angle[G(j\omega)]}$

3) $y(t) = \mathcal{I}m[\hat{y}(t)] = \mathcal{I}m[|G(j\omega)| e^{j\angle[G(j\omega)]} e^{j\omega t}]$
 $= |G(j\omega)| \mathcal{I}m[e^{j\{\omega t + \angle[G(j\omega)]\}}] = |G(j\omega)| \sin(\omega t + \angle[G(j\omega)])$

Teorema della risposta in frequenza

H_p ① Sia $u(t) = U \sin(\omega t + \varphi)$

② (A, B, C, D) sis LTI t.c. $j\omega$ non sia autovalore di A

③ $x(s) = (j\omega I - A)^{-1} B$ $y(t) = Y \sin(\omega t + \psi)$ dove $Y = |G(j\omega)| U$ e $\psi = \varphi + \angle[G(j\omega)]$

$G(s) \Big|_{s=j\omega} = G(j\omega) \stackrel{\Delta}{=} \text{Risposta in frequenza del sis (R.F)}$

Corollario se il sis è AS (A è AS) $\Rightarrow y(t) \rightarrow Y \sin(\omega t + \psi) \forall x(s)$

1) $G(j\omega)$ funzione complessa di variabile reale ω

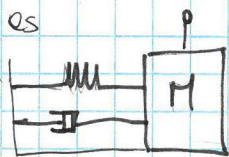
2) $G(s)$ f complessa di var complessa

3) R.F è def per tutti i sis lin.

es $G(s) = \frac{1}{1+sT}$ $G(j\omega) = \frac{1}{1+j\omega T}$ $|G(j\omega)| = \frac{1}{\sqrt{1+\omega^2 T^2}}$
 se $\omega^2 T^2 \ll 1 \Rightarrow |G(j\omega)| \approx 1$
 se $\omega^2 T^2 \gg 1 \Rightarrow |G(j\omega)| \approx \frac{1}{\omega T}$

$u(t) = \sin(\omega t)$

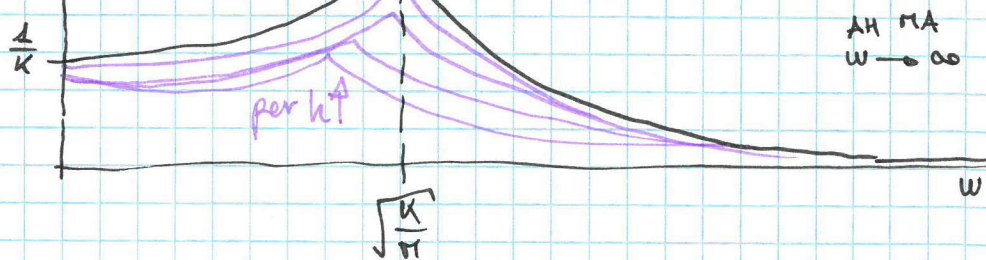
$\angle[G(j\omega)] = -\angle[1+j\omega T] = -a \operatorname{tg}\left(\frac{\omega T}{1}\right)$
 $\omega T \ll 1 \rightarrow 0$
 $\omega T \gg 1 \rightarrow \frac{\pi}{2}$



$G(s) = \frac{1}{ms^2 + hs + k}$

$G(j\omega) = \frac{1}{(m j\omega)^2 + h j\omega + k} = \frac{1}{(k - m\omega^2) + j\omega h}$

$|G(j\omega)| = \frac{1}{\sqrt{(k - m\omega^2)^2 + (h\omega)^2}}$



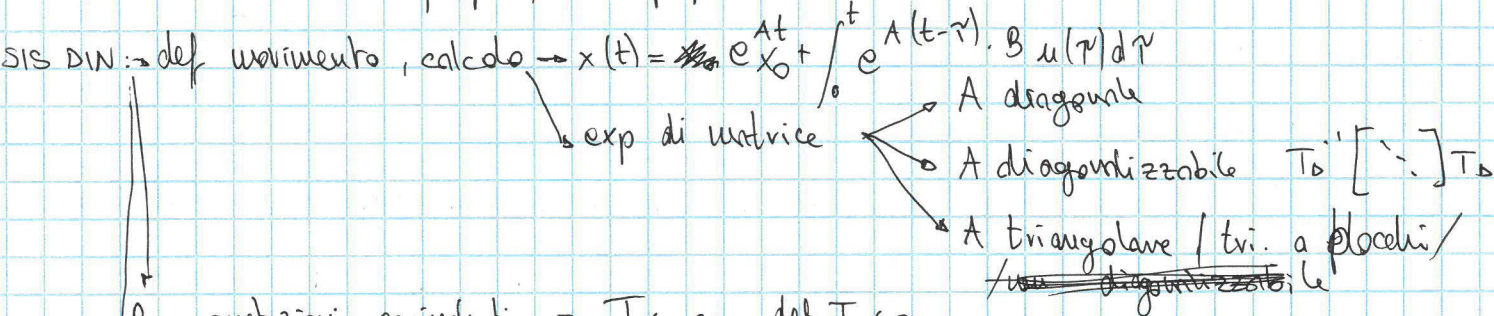
Questo quando applico un forza sinusoidale

Il fenomeno è detto di risonanza

Ripasso della teoria

- definizione del problema di controllo
 - controllo A.A: modello univariante, tempi risposta, disturbi
 - controllo A.C: robustezza, stabilizzazione in retroazione

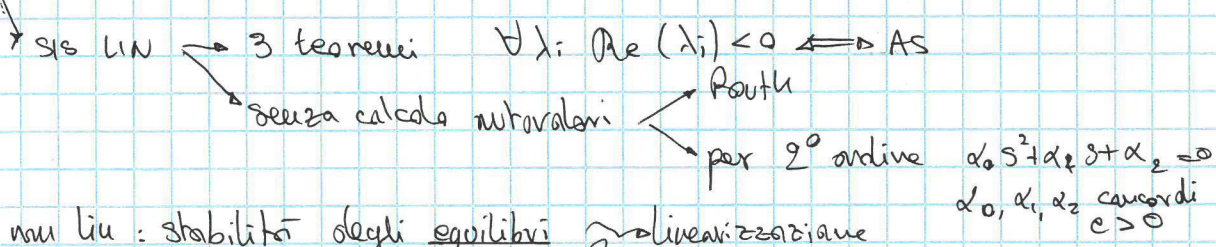
- Classificazione dei sis: statico/dinamico (con def variabile di stato)
 - SISO / MIMO
 - Ordine
 - lin / non lin
 - temp. var / temp. inv
 - proprio / strett. proprio



Rappresentazioni equivalenti $z = Tx$ con $\det T \neq 0$

Linearizzazione

STABILITA' \rightarrow definizioni (STAB, INST, AS) \rightarrow stabilità alla Lyapunov o intern



STAB per i non lin: stabilità degli equilibri \rightarrow linearizzazione

\rightarrow teorema di Lyapunov

- trasformata di Laplace: - definizione $F(s) = \int_0^{\infty} e^{-st} f(t) dt$

- proprietà: linearità / traslat. nel tempo / derivare nel tempo / integrare nel tempo

- trasformate notevoli:

- $\frac{1}{s^k} \xrightarrow{\mathcal{L}^{-1}} \frac{t^{k-1}}{(k-1)!} \text{sc}(t)$ (impulso, rampa, scivolo)
- $\frac{1}{s-a} \xrightarrow{\mathcal{L}^{-1}} e^{at} \text{sc}(t)$
- $\frac{1}{(s-a)^k} \xrightarrow{\mathcal{L}^{-1}} e^{at} \frac{t^{k-1}}{(k-1)!} \text{sc}(t)$
- $\frac{w}{(s-a)^2 + w^2} \rightarrow e^{at} \sin(wt) \text{sc}(t)$
- $\frac{s-a}{(s-a)^2 + w^2} \rightarrow e^{at} \cos(wt) \text{sc}(t)$

- teorema V.I, V.F
- antitrasformate con Heavyside: poli semplici/multipli/complessi coniugati / non strettamente proprio

FdT: def: \rightarrow calcolo di (A,B,C,D)
 \rightarrow rapporto tra trasformate di Laplace $G(s) = \frac{N(s)}{D(s)}$
 osservabilità e controllabilità $G(s) = c(sI - A)^{-1}B + D$
 se ci sono cancellaz \rightarrow non oss e controllabile
 senza \rightarrow perfettamente oss e controll

cancellaz \rightarrow critiche
 non critiche

Stabilità FdT e interna

- Rappresentaz. di FdT: polinomi estesi/singolarità o esposti di tempo raccolte

- Calcolo risposte alla scalino: integrazione / singolo polo / poli multipli coincidenti / poli c.c/

effetto degli zeri
 \rightarrow approx poli dominanti: t. ass/v.f / v.i / oscillaz
 sopra-sotto elong \leftarrow periodo
 n° oscillaz
 ampiezza relattiva del picco

- Risposta in frequenza

- teorema (corollario) \leftarrow NB il corollario
- effetto bloccante degli zeri \rightarrow modulo
- calcolo $G(j\omega) = G(s) \Big|_{s=j\omega} \rightarrow$ fase

es tipico " dato $G(s)$ A.S, calcolare l'uscita a regime con $u(t) = \sin(\omega t)$ "

- Schemi a blocchi: serie/parallelo/retroazione stabilità

Rappresentazione grafica risposta in frequenza

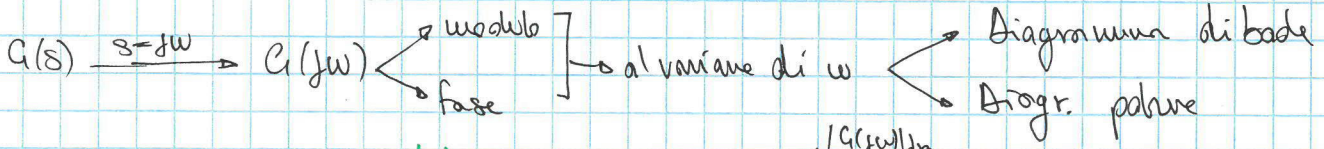
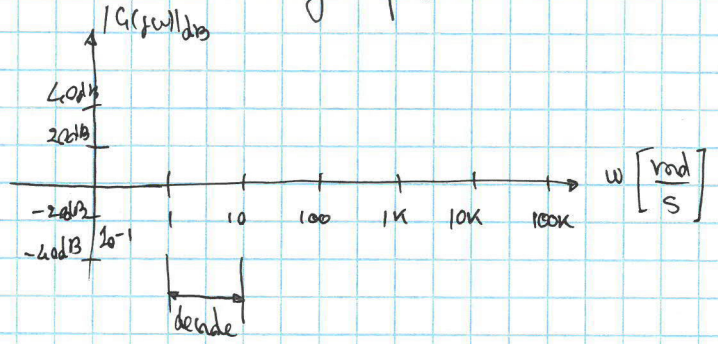


Diagramma di Bode del modulo

$|G(j\omega)| \rightarrow 20 \log_{10} |G(j\omega)| = |G(j\omega)|_{dB}$

ω è considerata su scala log



Se $|G(j\omega)| = 1 \rightarrow |G(j\omega)|_{dB} = 0 \text{ dB}$

$$G(s) = \frac{\mu}{s^g} \frac{\prod (1 + s\tau_i)}{\prod (1 + sT_i)} \frac{\prod (1 + \frac{\beta_i s + s^2}{\alpha_i})}{\prod (1 + \frac{\beta_i s + s^2}{\alpha_i})}$$

$$G(j\omega) = \frac{\mu}{(j\omega)^g} \frac{\prod (1 + j\omega\tau_i)}{\prod (1 + j\omega T_i)} \frac{\prod (1 + \frac{\beta_i j\omega - \omega^2}{\alpha_i})}{\prod (1 + \frac{\beta_i j\omega - \omega^2}{\alpha_i})}$$

$$|G(j\omega)| = \frac{|\mu|}{|\omega|^g} \frac{\prod |1 + j\omega\tau_i|}{\prod |1 + j\omega T_i|} \frac{\prod |1 + \frac{\beta_i j\omega - \omega^2}{\alpha_i}|}{\prod |1 + \frac{\beta_i j\omega - \omega^2}{\alpha_i}|}$$

$$|G(j\omega)|_{dB} = 20 \log_{10} |\mu| - 20 \log_{10} |\omega|^g + \sum 20 \log_{10} |1 + j\omega\tau_i| - \sum 20 \log_{10} |1 + j\omega T_i| + \sum 20 \log_{10} |1 + \frac{\beta_i j\omega - \omega^2}{\alpha_i}| - \sum 20 \log_{10} |1 + \frac{\beta_i j\omega - \omega^2}{\alpha_i}|$$

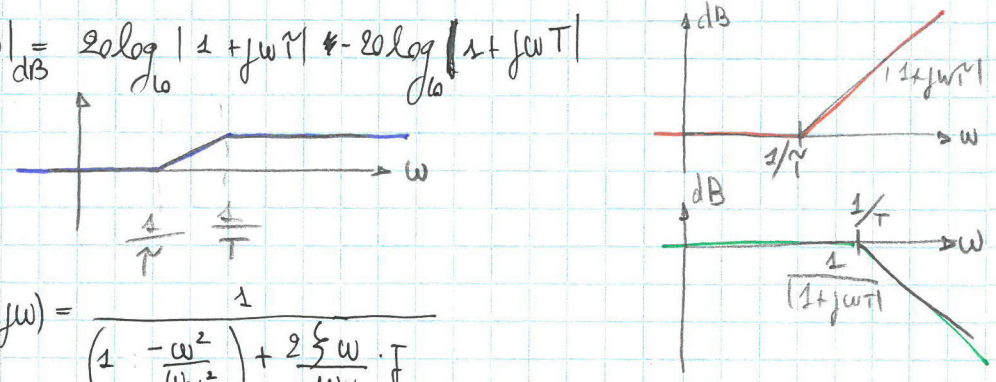
Casi

- $G(s) = \mu \rightarrow |G(j\omega)|_{dB} = 20 \log_{10} |\mu|$ è una retta
 - se $\mu > 1 \rightarrow |G(j\omega)|_{dB} > 0$
 - se $\mu < 1 \rightarrow |G(j\omega)|_{dB} < 0$
- $G(s) = \frac{1}{s^g} \rightarrow G(j\omega) = \frac{1}{|j\omega|^g} \rightarrow |G(j\omega)|_{dB} = -20 \cdot g \log_{10} |j\omega|$
- $G(s) = \frac{1}{1 + sT} \rightarrow |G(j\omega)|_{dB} = 20 \log_{10} \frac{1}{\sqrt{1 + \omega^2 T^2}} = -20 \log_{10} \sqrt{1 + \omega^2 T^2}$

$$|G(j\omega)|_{dB} = \begin{cases} 0 \text{ dB per } \omega \ll \frac{1}{T} \\ -20 \log_{10} |\omega T| = -20 \log_{10} |\omega| + 20 \log_{10} \left| \frac{1}{T} \right| \text{ per } \omega \gg \frac{1}{T} \end{cases}$$

4) $G(s) = \frac{1+sT}{1+sT}$ $|G(j\omega)|_{dB} = 20 \log_{10} |1+j\omega T| - 20 \log_{10} |1+j\omega T|$

Sommando i due grafici:

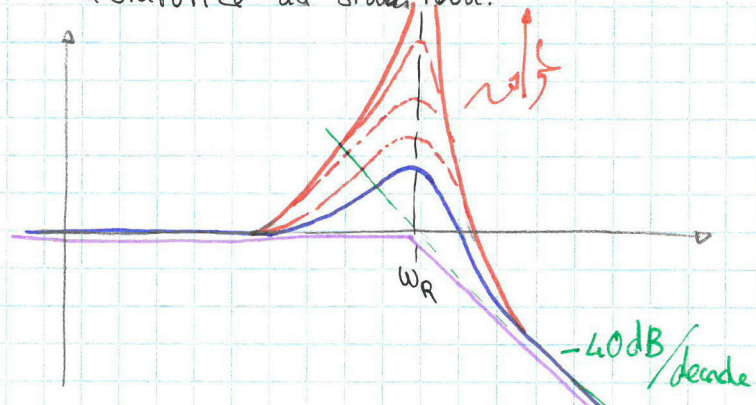


5) $G(s) = \frac{1}{s^2 + 2\zeta s + 1}$ $G(j\omega) = \frac{1}{(1 - \frac{\omega^2}{\omega_n^2}) + j \frac{2\zeta\omega}{\omega_n}}$

$|G(j\omega)|_{dB} = -20 \log_{10} \sqrt{(1 - \frac{\omega^2}{\omega_n^2})^2 + 4\zeta^2 \frac{\omega^2}{\omega_n^2}}$

Vediamo il comportamento asintotico di questa cosa:

$\omega \rightarrow 0 \quad |G(j\omega)|_{dB} = 0 \text{ dB}$
 $\omega \rightarrow \infty \quad |G(j\omega)|_{dB} = -20 \log_{10} \left(\frac{\omega^2}{\omega_n^2} \right) = -40 \log_{10} \left(\frac{\omega}{\omega_n} \right)$



① $\omega_R = \omega_n \sqrt{1 - 2\zeta^2}$
 ② $|G(j\omega_R)| = \frac{1}{2\zeta \sqrt{1 - \zeta^2}}$ \rightarrow picco

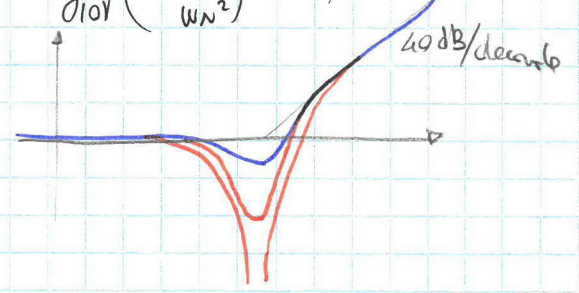
Per ζ elevate, posso mantenere l'approx del diagramma di Bode asintotico (in lilla)

①, ② rivelano che non è vero che c'è un picco di risonanza sempre, infatti:

La risonanza è presente se $1 - 2\zeta^2 > 0 \Rightarrow \zeta < \frac{1}{\sqrt{2}} \approx 0,70$

Se lo smorzamento è elevato, non ottengo risonanze e quindi il diag. Bode asintotico è un'ottima approx. Ma un po' che $\downarrow \zeta$, la risonanza viene esaltata.

Cosa succede al modulo quando $\zeta = 0 \quad |G(j\omega)|_{dB} = -20 \log_{10} \sqrt{(1 - \frac{\omega^2}{\omega_n^2})^2 + 0}$ Abbiamo un asintoto verticale 40 dB/decade



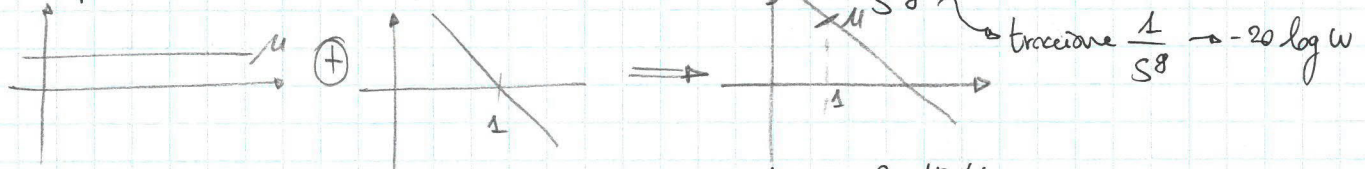
6) $G(s) =$ zeri complessi e coniugati \Rightarrow antirisonanza

Il comportamento è esattamente analogo.

Regole di tracciamento del modulo dei diagrammi di Bode

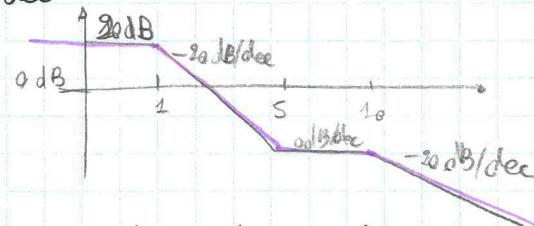
1) G deve essere scritta come $G(s) = \frac{\mu}{s^g} \frac{\prod (s + \sigma_i)}{\prod (1 + 2\frac{\beta_i}{\alpha_i} s + \frac{s^2}{\alpha_i^2})}$

2) Si parte dalle basse frequenze, $\omega \rightarrow 0$ Abbiamo $\frac{\mu}{s^g}$ tracciamo μ/dB



3) Incremento ω
 se incontro zero \Rightarrow guadagno 20 dB/dec
 se incontro polo \Rightarrow perdo 20 dB/dec

es: $G(s) = 10 \frac{(1 + 0,2s)}{(1+s)(1+0,1s)}$
 zero in $\omega = -5 \text{ rad/s}$
 poli in $\omega = -1 \text{ rad/s}, -10 \text{ rad/s}$



Regole di tracciamento della fase

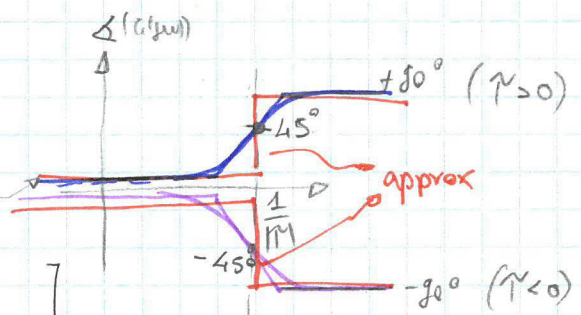
Dato $G(s)$, la fase $\angle[G(j\omega)] = \angle|\mu| - \angle|\omega|^g - \sum \angle(1 + j\omega T_i) + \sum \angle(1 + j\omega \tau_i)$
 $- \sum \angle(1 + 2\frac{\beta_i}{\omega N} j\omega - \frac{\omega^2}{\omega N^2}) + \sum \angle(1 + 2\frac{\beta_i}{\alpha_i} j\omega - \frac{\omega^2}{\alpha_i^2})$

guadagno DC
 1) $\angle(\mu)$ \circ se $\mu > 0$
 ± 180 se $\mu < 0$

2) $\angle(\frac{1}{j\omega}) = -\angle(j\omega)^g = -g \angle(j\omega) = -90^\circ g$

3) $\angle(1 + j\omega T_i) = \arctan(\omega T_i)$

approx $\angle(1 + j\omega T) = \begin{cases} 0 & \text{per } \omega = \frac{1}{T} \\ 90^\circ & \text{se } \tau > 0 \\ -90^\circ & \text{se } \tau < 0 \end{cases}$ per $\omega > \frac{1}{T}$ } approx ad angolo retto



3b) $\angle \frac{1}{(1 + j\omega T)} = \ominus \angle(1 + j\omega T)$ opposta dello zero

Possiamo costruire un tabella:

	Re < 0	Re > 0
polo	-90°	+90°
zero	+90°	-90°

polo comp. coniug

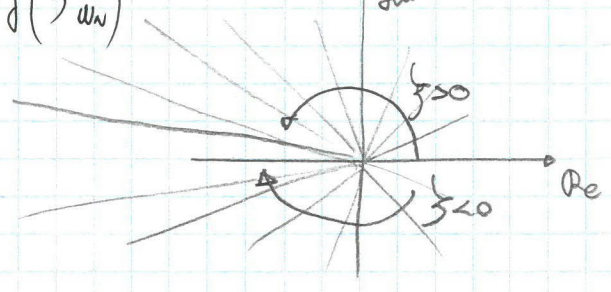
$$\angle \left[\frac{1}{1 + 2 \zeta \frac{\omega}{\omega_n} + \frac{\omega^2}{\omega_n^2}} \right] = - \angle \left[1 + 2 \zeta \frac{\omega}{\omega_n} + \frac{\omega^2}{\omega_n^2} \right] = - \arctg \left(\frac{2 \zeta \frac{\omega}{\omega_n}}{1 - \frac{\omega^2}{\omega_n^2}} \right) = - \arctan \left(\frac{Re}{Im} \right)$$

Però vogliamo ragionare graficamente

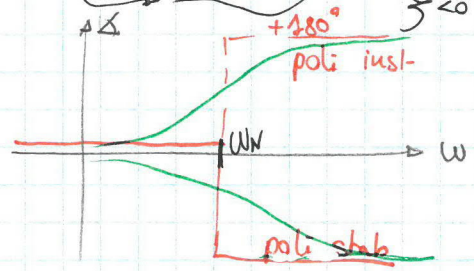
$\omega = 0 \quad \angle(\dots) = 0$
 $\omega = \infty \quad \angle(\dots) = \text{?}$

	$Re < 0$	$Re > 0$
polo c.c	-180°	$+180^\circ$
zero c.c	$+180^\circ$	-180°

$$\left(1 - \frac{\omega^2}{\omega_n^2} \right) + j \left(2 \zeta \frac{\omega}{\omega_n} \right)$$



$s^2 + 2 \zeta \omega_n s + \omega_n^2$ se $\zeta > 0$ allora $Re < 0$
 se $\zeta < 0$ allora $Re > 0$ } Parlavere di ζ o di Re è equivalente

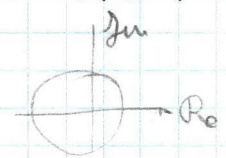
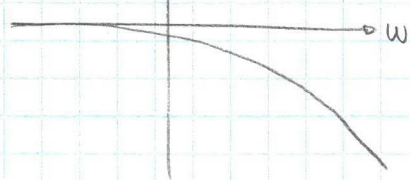


Ritardo e^{-sT}

$$G(j\omega) = e^{-j\omega T}$$

$$\angle e^{-j\omega T} = -\omega T$$

$F(s) = \frac{G(s)}{e^{-sT}} \Rightarrow$ il diagramma di Bode del modulo sarà quello di $G(s)$

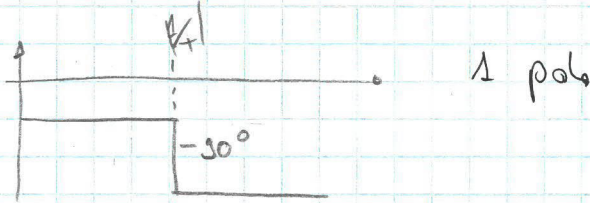
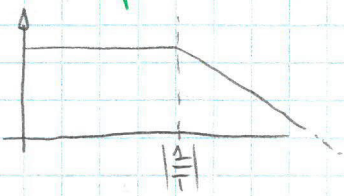


Def sis a fase minimo

Essi sono sis: ① AS, ② tutti gli zeri hanno $Re < 0$, ③ non ci sono ritardi.

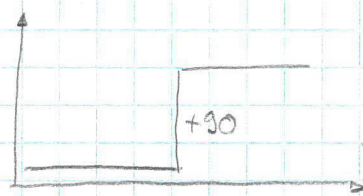
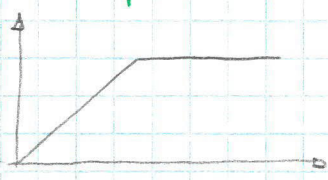
Dato il diagramma del modulo, posso ricostruire quello delle fasi solo per questi sis.

Filtro passa basso



Vengono preservate le variazioni "lente" del segnale. Le armoniche più ad alta freq vengono attenuate.

Filtro passa alto



zero nell'origine + polo

Filtro passa banda

È un serie tra passa basso e passa alto: zero nell'origine + 2 poli

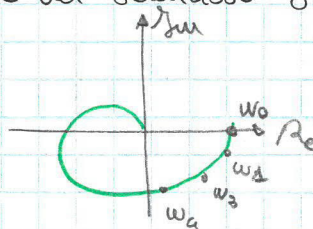
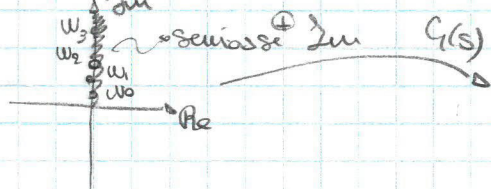
Filtro stop banda

È l'inverso del BP, es $G(s) = \frac{s^2 + \omega_n^2}{s^2 + 2\zeta\omega_n s + \omega_n^2}$ } → filtro notch

Rappresentazione grafica dei diagrammi polar:

$$G(s) \Big|_{s=j\omega}$$

Def: l'immagine del semiasse $j\omega$ positivo attraverso $G(s)$



Usando tutti gli ω ottengo una curva, $\omega \in [0, \infty]$

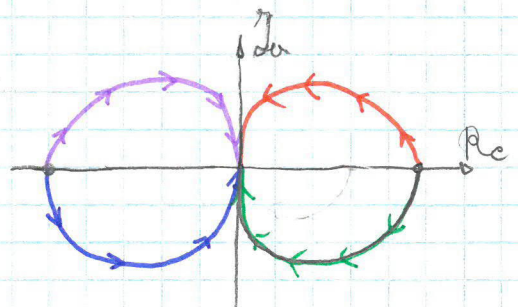
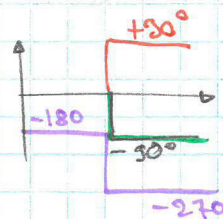
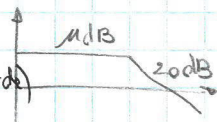
Def è la curva $G(j\omega)$ sul piano complesso, punteggiata in ω (sugli variazioni di ω)

Il diagramma polare contiene le stesse info del diagramma di Bode.

esempi:

$$G(s) = \frac{\mu}{1+sT}$$

caso 1) $\mu > 0$ $T > 0$ (in verde)



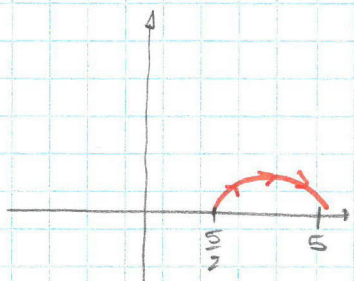
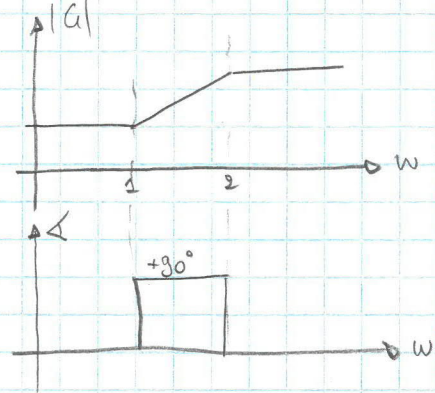
caso 2) $\mu > 0$ $T < 0$ (in rosso)

caso 3) $\mu < 0$ $T > 0$ (lilla)

caso 4) $\mu < 0$ $T < 0$ (blu)

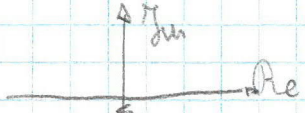
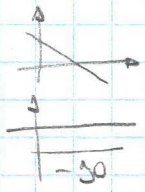
es

$$G(s) = 5 \frac{s+1}{s+2}$$



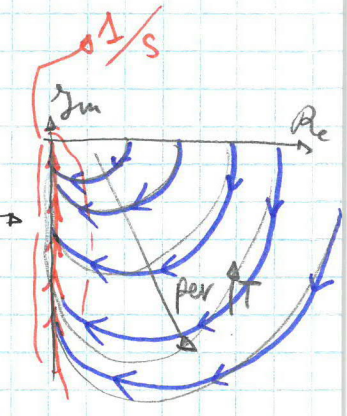
es

$$G(s) = \frac{1}{s}$$



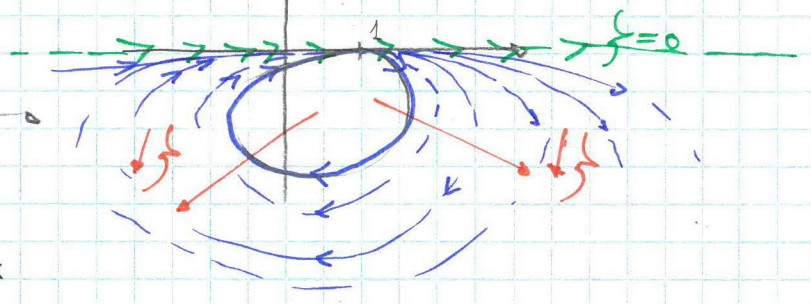
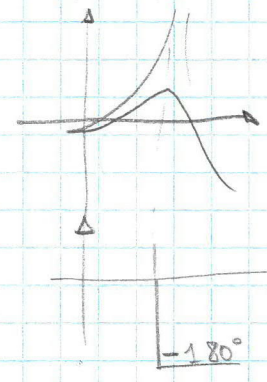
è il semiasse perché è come se fosse un polo estremo

$$G(s) = \frac{T}{1+sT} \text{ con } T \rightarrow \infty$$



es

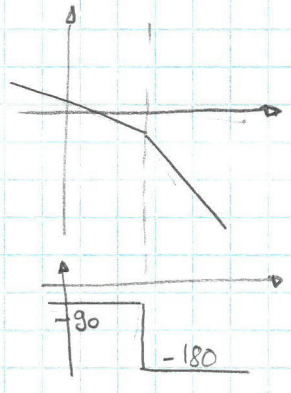
$$G(s) = \frac{1}{1 + \frac{2\zeta s}{\omega_n} + \frac{s^2}{\omega_n^2}}$$



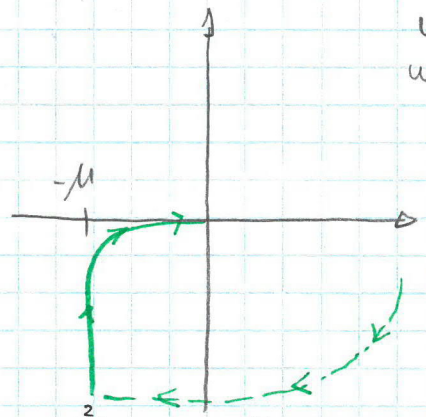
Se $\zeta = 0$ il diagramma polare è l'asse x

es

$$G(s) = \frac{\mu}{s(s+1)} \quad \mu > 0 \quad |\mu| < 1$$



Polo con $Re=0 \rightarrow$ non posso basarmi solo sui diag. Bode



$\omega \rightarrow \infty \quad \varphi = -180^\circ$
 $\omega \rightarrow 0 \quad \varphi = -90^\circ$
 $|\cdot| \rightarrow \infty$

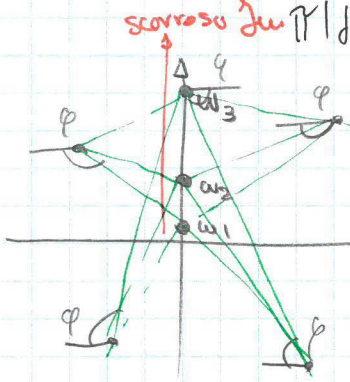
$$G(j\omega) = \frac{\mu}{j\omega(j\omega+1)} = \frac{\mu}{- \omega^2 + j\omega} \cdot \frac{- \omega^2 - j\omega}{- \omega^2 - j\omega} \rightarrow G(j\omega) = \frac{\omega^2 \mu}{\omega^4 + \omega^2} + j \frac{\mu \omega}{\omega^4 + \omega^2}$$

Re Im

$\lim_{\omega \rightarrow \infty} Re[G(j\omega)] = -\mu$ la parte reale rimane fissa a $-\mu$ mentre

$\lim_{\omega \rightarrow \infty} Im[G(j\omega)] = -\infty$ la parte immaginaria tende a $-\infty$

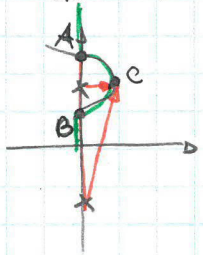
$$M = |G(j\omega)| = |K| \frac{\prod |j\omega - z_i|}{\prod |j\omega - p_i|} \quad \varphi = \angle [G(j\omega)] = \varphi_K + \sum \angle(j\omega - z_i) - \sum \angle(j\omega - p_i)$$



Punto su w sull'asse $j\omega$, vedo la lunghezza di tutti i vettori da ogni polo e zero e sommo le fasi per zeri, sottraggo fasi per poli, invece le sommo lunghezze dei vettori per avere il modulo totale del diagramma. Vediamo se c'è una singolarità posta sull'asse $j\omega$:

Questo è detto metodo dei vettori, es: poli compl. coniugati, dobbiamo passare attorno alla singolarità per vedere $w \rightarrow +\infty$

Per passare la singolarità, la regola è che si passa sempre a destra



$$\varphi_B = -\varphi_{p1}^B - \varphi_{p2}^B = -(-90^\circ) - 90^\circ = 0^\circ$$

$$\varphi_A = -\varphi_{p1}^A - \varphi_{p2}^A = -180$$

$$\varphi_C = -\varphi_{p1}^C - \varphi_{p2}^C = -(0^\circ) - (90^\circ) = -180^\circ$$

perché il cerchietto è di raggio infinitesimo, perciò C si avvicina sempre di più verso l'asse $j\omega$

es $G(s) = \frac{s-5}{s^2+4}$

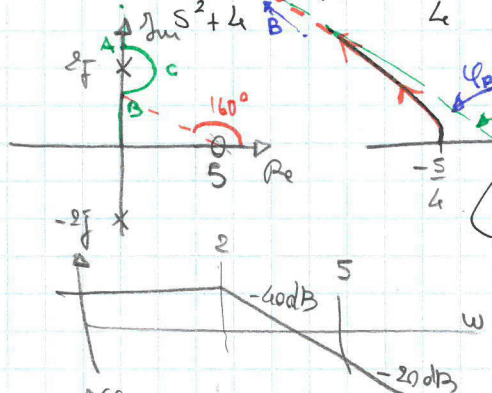
$$G(0) = -\frac{5}{4}$$

$$G(\infty) = 0$$

$$\varphi_B = \varphi_{z1}^B - \varphi_{p1}^B - \varphi_{p2}^B = \arctan\left(\frac{2}{5}\right) - (-90) - (-90) = 160^\circ$$

$$\varphi_C = \varphi_{z1}^C - \varphi_{p1}^C - \varphi_{p2}^C = \arctan\left(\frac{-2}{5}\right) - (90) - (90) = -20^\circ$$

$$\varphi_A = \varphi_{z1}^A - \varphi_{p1}^A - \varphi_{p2}^A = \arctan\left(\frac{0}{5}\right) - (0) - (90) = -90^\circ$$

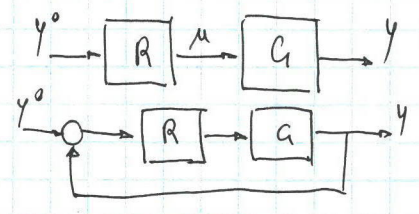


NB: attento all'uso della calcolatrice per il calcolo dell'arcotangente tangente nell'origine pari a -90° (vedi le fase finale in Bode)

I

Introduzione ai sistemi di controllo (sis LTI, eventualmente NL linearizzati)

- Anello aperto
- Anello chiuso



1) Requisiti primari

- Stabilità (asintotica)
- Precisione dinamica $y(t) = y_0$ durante transitori
- Precisione statica $\lim_{t \rightarrow \infty} y(t) = y_0$

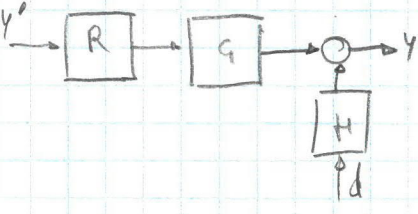
2) Requisiti secondari: moderazione nell'azione di controllo (usare sis sovradimensionati per il controllo è praticamente inutile e costoso, minimo sforzo massimo rendimento)

- robustezza del sis di controllo (giusto comportamento anche con incertezze di G): garanzia delle proprietà (requisiti primari) anche in presenza di incertezze sul modello

3) Problema di analisi: dati R, G \Rightarrow valutare i requisiti (detti anche proprietà) che la caratterizzano

4) Problema di sintesi: contrario dell'analisi, ovvero dato G si progetta e sintetizza R. Il progetto di R può non essere unico a causa delle sensibilità in gioco o metodi diversi.

Controllo ad anello aperto



ideale

$$\frac{y}{y_0} = RG = 1 \Rightarrow y = y_0 \rightarrow \text{è un filtro "passa tutto" idealmente}$$

$$\frac{y}{d} = H = 0 \rightarrow \text{idealmente si vuole avere H come filtro "passa niente"}$$

Se $RG = 1 \Rightarrow R = G^{-1}$ nella pratica ci sono problemi di realizzazione di ciò

Problema 1) Cancellazioni illecite (critiche)

$$G(s) = \frac{s+1}{s-1} \Rightarrow \text{se } R = G^{-1} \quad R = \frac{s-1}{s+1} \Rightarrow RG = \frac{s+1}{s-1} \frac{s-1}{s+1} = 1$$

\swarrow can. non critica
 \searrow cancellazione critica

Non si può fare la cancellazione critica perché comporta instabilità, il pezzo del sis diventa non osservabile.

Oss: qualunque G(s) instabile non può essere controllato in Anello Aperto, perché questo controllo non riuscirà mai a stabilizzare un G instabile

Problema 2) Realizzabilità di R

$$G(s) = \frac{10(s+1)}{(2s+1)(0,1s+1)} \Rightarrow R = \frac{0,1(2s+1)(0,1s+1)}{(s+1)}$$

Non abbiamo cancellazioni critiche un n° zeri > n° poli \Rightarrow sis improprio ovvero non può essere realizzato nella realtà

Possiamo avere solo sis G propri

Allora andiamo a cercare un fdt che non costituisca un filtro passa tutto, un quasi:
 \Rightarrow sendo propria e realizzabile R, per esempio aggiungendo un polo ad alta frequenza
 (tutto quello che succede a HF è praticamente frutto di ciò che succede a LF, se ponga un polo HF influenzerà il sis più di tanto. Se fosse LF potrei avere risultati catastrofici perché influenzerà praticamente tutto il sis, si sceglie il polo vicino)
 posso per esempio aggiungere un polo una decade dopo l'ultimo singolarità, se prendiamo l'ultimo es abbiamo $R = G^{-1} \cdot \frac{1}{0,01s+1} \Rightarrow \frac{Y}{Y_0} = R \cdot G = \frac{1}{0,01s+1}$

Non abbiamo più un filtro passa tutto un è un filtro passa basso.

Problema 3) Scarsa robustezza

$G(s) = \frac{(1 \pm \Delta)(1+s)}{(2s+1)(1+0,1s)}$ ~~R~~ R, considerando $\Delta=0 \Rightarrow \frac{Y}{Y_0} = R \cdot G = \frac{1 \pm \Delta}{0,01s+1}$ \nearrow rimane il passa basso di prima

$F_{dt}^{ideale} = 1 \neq F_{dt}^{reale}$ anche a pulsazione nulla \rightarrow

Abbiamo problemi anche per LF. L'anello aperto non conviene sempre

Controllo ad anello chiuso

(il blocco H è stato rimosso per semplicità della spiegazione)

$$\frac{Y}{Y_0} = \frac{R \cdot G}{1 + R \cdot G} = \frac{L}{1+L} \text{ fdt ad anello } \frac{Y}{d} = \frac{L}{1+L}$$

Abbiamo un controllo sul disturbo, influenzandolo. Non succedeva con l'anello aperto.

1) Senza ~~conoscere~~ ^{conoscere} i disturbi, lo schema di controllo in anello chiuso permette di "gestirli"

Stabilità di sis controllo retroazionati

$1 + L(s) = 0 \rightarrow s_{1,2,3, \dots}$ poli del sis anello chiuso
 $\frac{N_L(s)}{D_L(s)} = 0 \Rightarrow D_L(s) + N_L(s) = 0$ bisogna azzerare il polinomio
 \hookrightarrow ordine di $L(s) \leq 2$

Per essere realizzabile, grado $D_L(s) >$ grado $N_L(s)$ (senno è improprio), l'unico sol dell'eq

è con grado $D_L =$ grado N_L , perciò $L(s)$ ~~deve~~ ^{ha} ~~avere~~ ^{avere} ordine D_L

Se $L > 2 \rightarrow s^3 + s^2 + s + 1 = 0$ \rightarrow dovrei calcolare i diversi coefficienti con Routh (diventa un casino)

Se $L \leq 2 \rightarrow as^2 + bs + c = 0$ \rightarrow ricavo a, b, c semplicemente perché nel caso di 2° ordine per stabilità asintotica a, b, c ~~deve~~ ^{hanno} ~~avere~~ ^{hanno} stesso segno e > 0

Per $L > 2$ ci sono altri criteri